DOI: 10.54254/3049-5350/2025.23722

中空 MnO2纳米载体增强 Cy7 肿瘤靶向性及光动力治疗

李汉祥

(青岛大学化学化工学院,山东省青岛市,266100;1539414024@qq.com)

摘 要: 肿瘤微环境响应型药物递送系统的开发是提高光动力治疗 (PDT) 特异性和疗效的关键挑战。本研究设计了一种基于中空二氧化锰 (H-MnO₂) 纳米载体负载 Cy7 近红外荧光染料的智能递送系统 (Cy7@MnO₂),用于实现肿瘤微环境响应的精准光动力治疗。通过硬模板法合成了具有中空结构的 MnO₂ 纳米载体,并采用物理吸附法高效负载 Cy7 染料。实验结果表明,该递送系统在正常生理条件下保持稳定,H-MnO₂ 载体能有效屏蔽 Cy7 的光敏活性;而在模拟肿瘤微环境中可快速释放 Cy7。体外细胞实验证实,Cy7@MnO₂在激光照射下对 4T1 肿瘤细胞的杀伤效率达 82.3%,显著高于游离 Cy7 组 (62.9%)。这种"微环境响应+光控激活"的双重靶向策略为肿瘤的精准治疗提供了新思路。

关键词:中空二氧化锰; Cy7; 肿瘤微环境; 光动力学治疗

引言

中空二氧化锰(H-MnO₂)纳米材料因其独特的结构和理化性质,近年来在生物医学领域受到广泛关注[1,2]。与传统 MnO_2 纳米颗粒相比,中空结构具有更高的比表面积和负载能力,可高效封装药物或荧光分子,并实现可控释放[3]。 MnO_2 在肿瘤微环境(TME)中表现出多重响应性:在弱酸性条件下(pH 6.5-6.9)可被还原为 Mn^{2+} ,同时消耗过表达的谷胱甘肽(GSH),破坏肿瘤细胞的氧化还原平衡[4,5]。此外, MnO_2 与过氧化氢(H_2O_2)反应可生成 O_2 ,缓解肿瘤缺氧,增强光动力治疗(PDT)效果[6-8]。近年来,研究者通过模板法、自组装等方法制备了不同形貌的中空 MnO_2 纳米材料,用于药物递送、化学动力学治疗(CDT)和磁共振成像(MRI)[9-12]。然而,单纯 MnO_2 纳米材料在近红外区的光学惰性限制了其在荧光成像中的应用,亟需与光学活性物质结合,构建多功能纳米诊疗平台。

Cy7 作为一种近红外 (NIR) 荧光染料,不仅具有良好的光学成像特性,更因其出色的光动力治疗 (PDT) 潜力而备受关注[13-15]。其激发波长 (≈750 nm) 位于生物组织的光学治疗窗口,能够实现较深的组织穿透深度,有效激活肿瘤深部的光敏反应[16]。与传统光敏剂相比,Cy7 具有更高的单线态氧量子产率和更优异的光稳定性,在激光照射下能高效产生活性氧 (ROS),实现对肿瘤细胞的精准杀伤。然而,游离 Cy7 通常缺乏肿瘤靶向性,在全身给药时可能因非特异性分布导致正常组织的光毒性损伤[17]。现有研究主要通过纳米载体递送来改善 Cy7 的靶向性,但常规递送系统往往无法实现肿瘤微环境触发的特异性释放[18-20]。因此,开发一种能响应肿瘤微环境、选择性释放并激活 Cy7 的智能递送系统,对于实现安全高效的光动力治疗具有重要意义。

基于此,本研设计了中空 MnO_2 纳米载体负载 Cy7 的智能递送系统($Cy7@MnO_2$)。该体系通过双重激活机制实现精准调控:在正常组织中, MnO_2 壳层完整包裹 Cy7,有效阻隔其光敏活性;而在肿瘤部位,弱酸性和高 H_2O_2 微环境触发 MnO_2 分解,实现 Cy7 的特异性释放后,再通过近红外激光($\approx750~nm$)选择性激活其光动力效应。这一系统的优势在于:(1) H_2O_2 响应性分解确保肿瘤部位特异性药物释放;(2) MnO_2 分解生成的 O_2 缓解肿瘤缺氧;(3)激光时空精准控制确保 Cy7 仅在靶部位产生活性氧。这种"微环境响应+光控激活"的双重门控设计,既从根本上避免了系统毒性,又通过代谢调控与光敏作用的协同效应显著提升了治疗效果。

1 实验部分

1.1 实验药品

实验所用商业试剂和溶剂均为分析纯级别,未进行二次纯化可直接使用。实验中使用的所有试剂均购自阿拉丁试剂公司(中国,北京)。正硅酸四乙酯(TEOS)、氨水、高锰酸钾、碳酸钾购自国药化学试剂有限公司(中国,上海)。GSH购自希恩思生化科技有限公司(中国,天津)。

1.2 实验仪器

透射电镜(TEM)图像使用 HT-7700 Exalens 透射电子显微镜(电子,日本)获得。Zeta 电位由马尔文 Zetasizer Nano ZSE 测量。MTT 法使用酶标仪(Synerge2,Biotek,USA)检测吸光度。在 Bruker Avance 光谱 仪上记录了 ¹H NMR 谱。高分辨率质谱(HR-MS)由 Bruker ultrafleXtremeTM 质谱系统获得。紫外-可见吸收光谱由 TU-1901 紫外可见分光光度计(岛津,日本)获得。XRD 采用 Ultima IV 型 X 射线衍射仪(理学,日本)测定。

Cv7的合成

图 1 Cy7 的合成路线

如图 1 所示的是目标化合物 Cy7 的合成路线,其具体合成步骤如下:

化合物的1合成。

在氮气保护下,将 2,3,3-三甲基-3H-吲哚(10.0 g,63 mmol)和 2-碘乙醇(15 g,88 mmol)溶于乙腈(100 mL),加热回流 24 h。反应完成后,冷却至室温,加入正己烷使产物析出。经抽滤收集紫色固体,干燥后直接用于后续反应。产量: 90%。

(1) 化合物 2 的合成

在冰浴冷却条件下,将三氯氧磷(9 mL,58 mmol)逐滴加入含有 DMF(10 mL,273 mmol)和无水二氯甲烷(20 mL)的混合溶液中。随后,缓慢滴加环己酮(2.5 g,25 mmol),并将反应体系升温至 80°C,剧烈搅拌 3 h。反应完成后,将混合物冰水浴冷却,并在搅拌下倒入冰水中,4°C 静置过夜析出黄色沉淀。抽滤收集固体,水洗后真空干燥,得到化合物 3(7.9 g,91.9%)。

(2) Cv7 的合成

在氮气保护下,将化合物 1(5.8 mg,22.0 mmol)、化合物 2(1.7 g,10.0 mmol)和乙酸钾(2.2 mg,22.0 mmol)溶于无水乙醇,于 70°C 回流反应 12 h。反应完成后,冷却至室温,并通过真空旋蒸法除去溶剂,得到绿色沉淀物。经 $CH_2Cl_2/MeOH$ (20:1,v/v)柱层析分离纯化,最终得到化合物 Cy7(4.46 mg,82%),为深绿色固体。 1H NMR(400 MHz,氘代氯仿) δ 8.36-8.36(d、2H),7.40-7.34(m、4H),7.25-7.20(m、4H),6.51-6.48(d、2H),4.37-4.35(t、4H),4.07-4.04(t、4H),2.83-2.80(t、H),2.09(s、1H),1.97-1.94(t、2H),1.73(s、12H)。

1.3 H-MnO₂ 的制备

(1) SiO₂的合成。

首先,采用 stober 法合成单分散二氧化硅颗粒,作为中空二氧化锰的硬质模板。然后,向 25 mL 无水乙醇中加入 0.6 mL 去离子水和 1.8 mL 氨水,在室温下搅拌 10 min。继续取 0.9 μ L TEOS 溶于 5 mL 无水乙醇中,并将其缓慢滴加入上述溶液中。将混合物升温至 40 °C,搅拌回流过夜,得到 SiO_2 纳米球。所得产物用乙醇和水清洗反复清洗,保存在水中以备后续使用

(2) H-MnO₂的合成。

在超声处理下,将含有 400 mg KMnO₄ 的水溶液滴入 40 mg SiO₂ 的溶液中,继续在超声环境下处理 8 h。 得到 MnO₂ 包覆的纳米粒子 SiO₂@MnO₂,所得产物用乙醇和水清洗反复清洗。最后,将 SiO₂@MnO₂ 分散到 20 mL NaCO₃(2 M)溶液中,60 °C搅拌过夜,所得产物用乙醇和水清洗反复清洗,离心得得到 H-MnO₂ 纳米 颗粒并分散在去离子水中。

1.4 Cy7@MnO2的制备

将 2 mg Cy7 到 20 mL H-MnO₂(10 mg)溶液中并在室温下搅拌 24 h。通过离心获得 Cy7@MnO₂。样品多次离心以收集不同时间上清液,通过紫外可见分光光度计检测吸光度,计算上清液中 Cy7 的含量,用于测定 H-MnO₂ 中 Cy7 的负载量。

1.5 Cy7@MnO₂ 的 H₂O₂ 响应性降解

将 Cy7@MnO₂(200 μ g·mL⁻¹)置于 pH=6.5、不同浓度 H₂O₂(0、50、100、200、400 μ M)溶液中,孵育 15 min 后,测量不同样品的紫外吸收确定 Cy7@MnO₂ 的降解。

1.6 Cy7@MnO₂的O₂生成

将 Cy7@MnO₂(200 μ g·mL⁻¹)分别置于不同 pH 值(pH = 6.5 和 pH = 7.4)、有无 H₂O₂(200 μ M)的溶液中孵育,使用氧气荧光探针[Ru(dpp)₃]₂Cl₂(RDPP)测量不同实验组的荧光光谱。

2 实验结果与讨论

2.1 Cy7@MnO₂的表征与性能测试

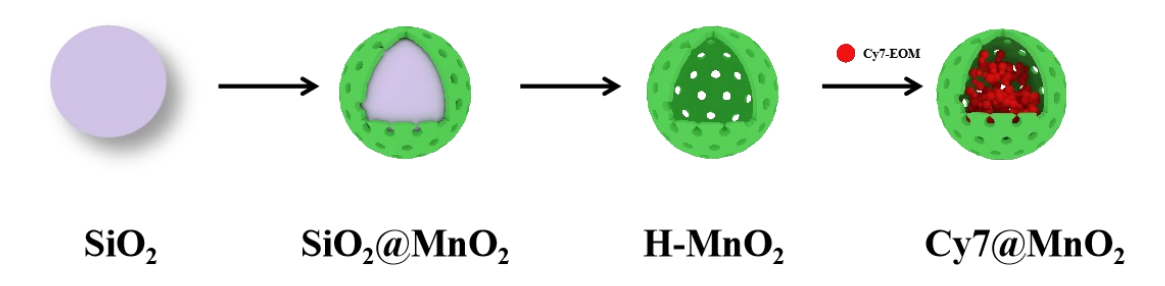
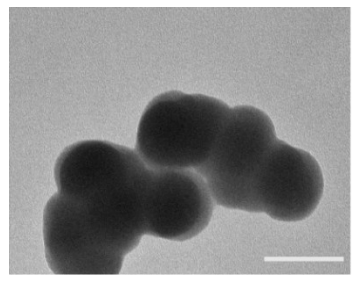
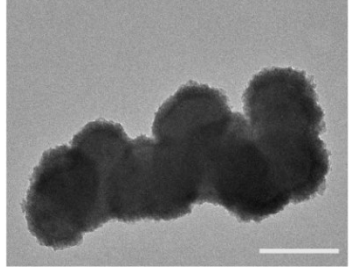


图 2 Cy7@MnO2的合成流程示意图

如图 2 所示,首先使用 SiO_2 作为模板制备 $H-MnO_2$ 。随后,将 $H-MnO_2$ 与 Cy7 共搅拌得到纳米递送系统 $Cy7@MnO_2$ 。





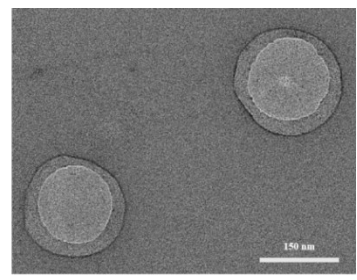
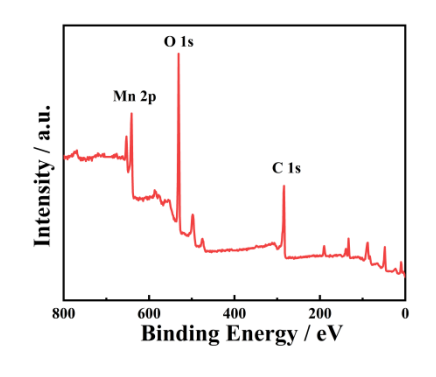
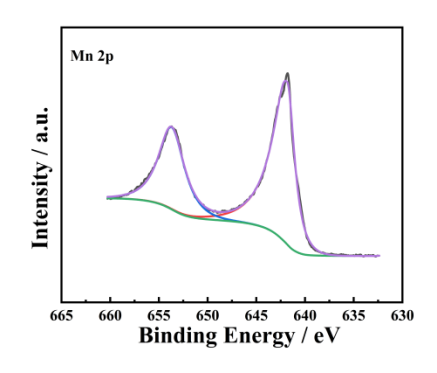


图 3 SiO₂、SiO₂@MnO₂和 H-MnO₂的 TEM 图像

如图 3 所示,TEM 结果显示,所制备的 $H-MnO_2$ 纳米颗粒为分散均匀的空心壳结构,中空的 MnO_2 赋予其高比表面积和大空腔,为药物负载提供了理想的空间结构。





(a) H-MnO₂的 XPS 全扫描光谱

(b) H-MnO2 的 Mn 2p 高分辨率 XPS 谱图

图 4

如图 4 所示,X 射线光电子能谱(XPS)被用于表征 $H-MnO_2$ 中的元素组成和化学状态。XPS 扫描全谱结果证明该纳米壳主要由锰和氧元素组成。在高分辨 Mn 2p 轨道能谱中,观察到位于结合能 642.1 eV 和 653.8 eV 的特征双峰,其峰位差值为 11.7 eV,且与四价锰(Mn^{4+})的标准特征峰位重叠,表明样品中的锰元素主要以 +4 价氧化态存在。

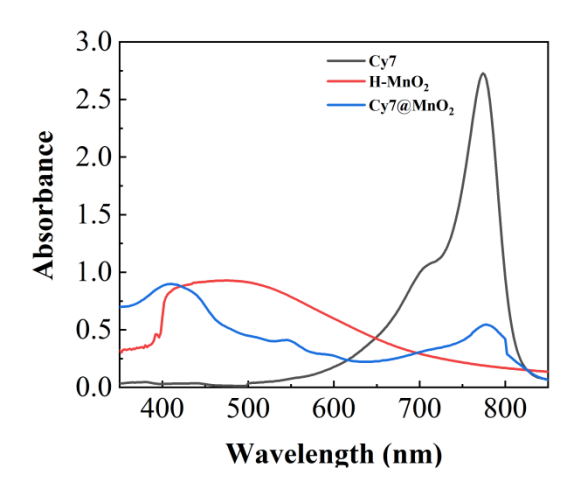
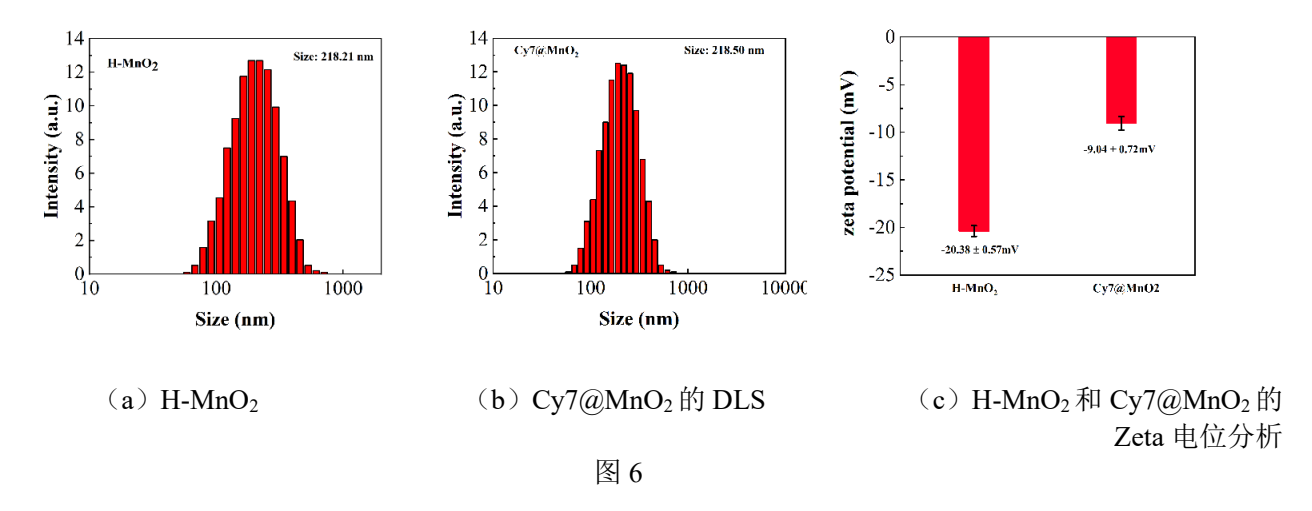
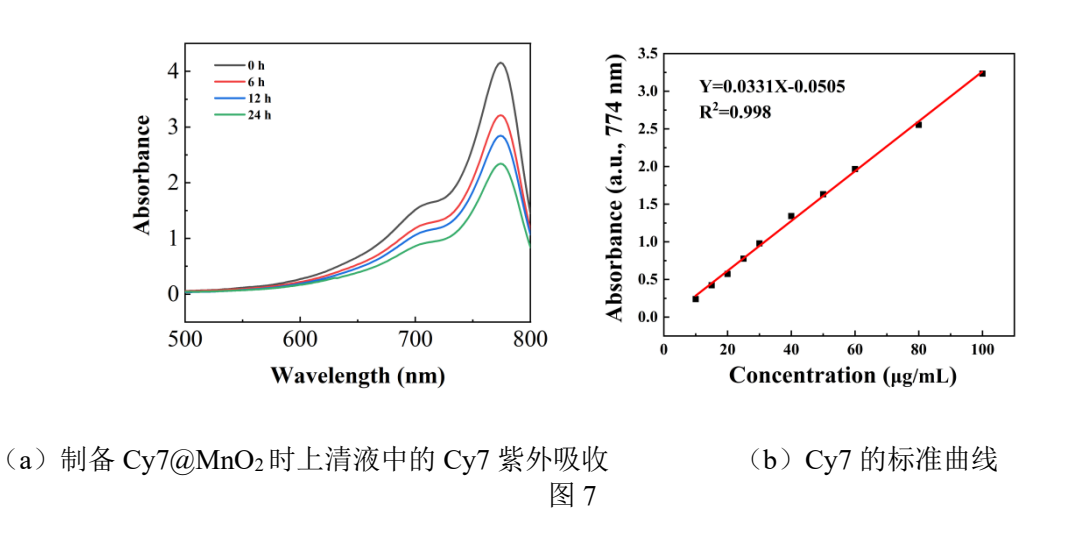


图 5 Cy7@MnO₂的紫外-可见吸收光谱

如图 5 所示,使用紫外-可见吸收光谱对 $Cy7@MnO_2$ 进行表征。 $Cy7@MnO_2$ 在 790 nm 和 400 nm 两处特征吸收峰大致对应于 Cy7 和 $H-MnO_2$ 的特征峰,证实了 Cy7 成功包覆在 $Cy7@MnO_2$ 上。



如图 6,通过 DLS 可知,H-MnO₂ 包载 Cy7-前后水动力直径基本不变。由于表面水合作用,与 TEM 相比略有增加。此外,H-MnO₂ 的 Zeta 电位为-20.38±0.57 mV,而 Cy7@MnO₂ 的 Zeta 电位为-9.04±0.72 mV。二者的差异性再次证明 Cy7@MnO₂ 的合成



如图 7 所示, 通过紫外-可见吸收光谱标准曲线法计算出 Cy7 的负载率为 8.62%, (Cy7: H-MnO₂, w/w)。

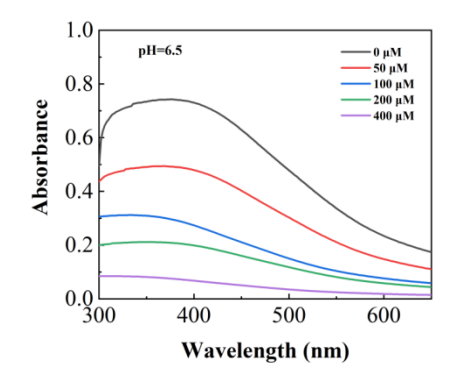
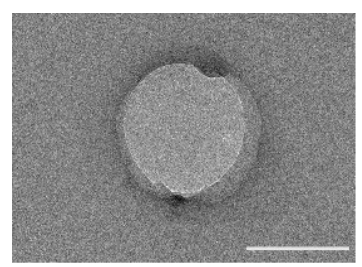
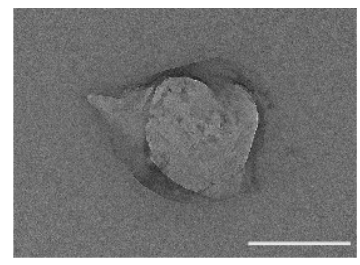


图 8 Cy7@ MnO_2 与不同浓度 H_2O_2 (0、50、100、200、400 μM)孵育后的紫外-可见光谱

如图 8 所示,为研究 $Cy7@MnO_2$ 在体外的响应裂解能力,将 $Cy7@MnO_2$ 与不同浓度 H_2O_2 孵育,随着 H_2O_2 浓度增加, $Cy7@MnO_2$ 的紫外吸收逐渐降低,表明 $Cy7@MnO_2$ 在 H_2O_2 下的响应性裂解。





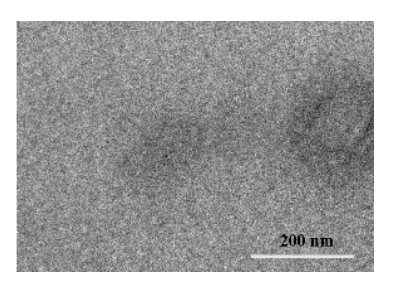


图 9 Cy7@MnO₂与 H₂O₂溶液(200 μM)孵育后的 TEM 图像(pH=6.5)

如图 9 所示, $Cy7@MnO_2$ 与 200 μ M H_2O_2 孵育后结构破裂,在 30 min 内形状完全模糊,进一步表明 $Cy7@MnO_2$ 在 H_2O_2 下的响应性裂解。

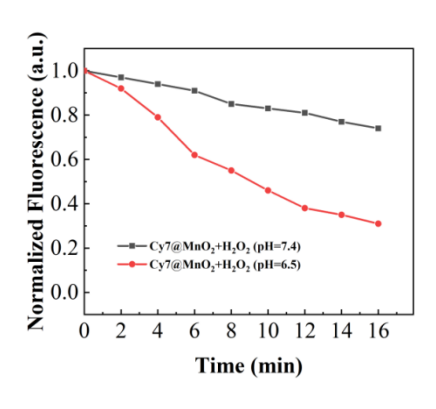


图 10 通过 RDPP 探针检测不同条件下 Cy7@MnO2 的 O2 生成能力

如图 10, O_2 的持续供给是提升 PDT 效果的关键因素。采用猝灭型荧光探针[Ru(dpp) $_3$] $_2$ Cl $_2$ (RDPP) 作为 O_2 探针,定量检测体系中的 O_2 生成量。实验结果显示,Cy7@MnO $_2$ 在中性条件(pH=7.4)下的氧气产率为 26%,而在酸性环境(pH=6.5)中显著提升至 77%。中性条件下的有限产氧主要来源于 MnO $_2$ 对 H_2O_2 的催化分解作用,而酸性条件下则得益于 MnO $_2$ 、 H_2O_2 与 H^+ 三者协同的化学反应,从而实现了高效的 O_2 生成。这充分证实了 MnO $_2$ 在 O_2 生成过程中的关键作用。

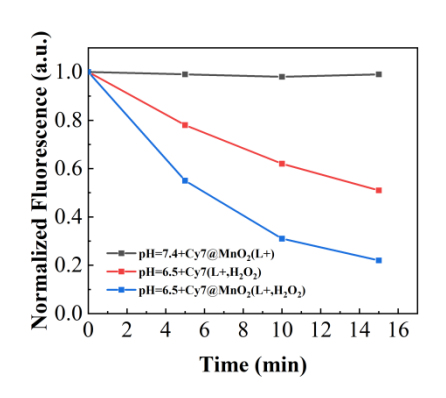


图 11 使用 SOSG 探针检测不同条件下 Cy7@MnO2 的 ¹O₂ 生成能力

如图 11,使用荧光探针 SOSG 评估 Cy7@MnO₂ 的 1 O₂ 生成能力。实验结果显示,在 808 nm 激光照射 (0.1W/cm^2) 条件下,中性环境(pH=7.4)中的 Cy7@MnO₂ 几乎不产生 1 O₂,充分证实了 MnO₂ 能够有效屏蔽 Cy7 的光毒性。同时,在模拟肿瘤微环境条件下,激光照射后的 Cy7@MnO₂ 系统产生的 1 O₂ 显著高于游离 Cy7,这一结果不仅验证了肿瘤微环境触发的药物释放机制,更揭示了 Cy7@MnO₂ 体系在促进 1 O₂ 生成方面的优越性能。

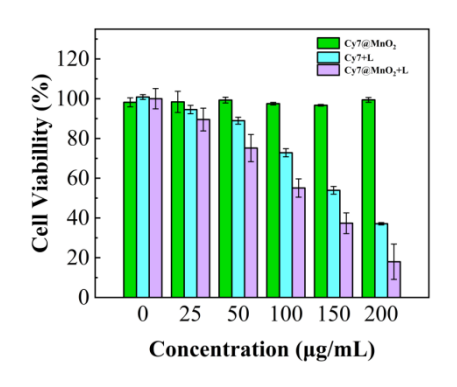


图 12 不同处理组 4T1 细胞的存活率

如图 12,通过 MTT 实验系统评估了 $Cy7@MnO_2$ 纳米药物对 4T1 细胞的抗肿瘤作用。结果显示,在 808 nm 激光(L)照射下, $Cy7@MnO_2$ +L 组表现出显著的协同治疗效果: 当浓度为 200 μ g/mL 时,细胞存活率降至 18%,杀伤效率显著高于较游离 Cy7 组。而未光照的 $Cy7@MnO_2$ 组则保持高细胞存活率(>90%),证实了该体系的"光控激活"特异性。

3 结论

本研究成功构建了一种基于中空 MnO_2 纳米载体的智能递送系统($Cy7@MnO_2$),该系统通过肿瘤微环境特异性响应实现了光敏剂 Cy7 的精准控释与激活。实验结果表明:在生理条件下(pH7.4), MnO_2 外壳可有效屏蔽 Cy7 的光敏活性,显著降低系统毒性;而在模拟肿瘤微环境中,高浓度 H_2O_2 触发 MnO_2 分解并释放 Cy7,同时产生的 O_2 有效缓解了肿瘤缺氧。值得注意的是,近红外激光照射(808~nm)可精确激活释放的 Cy7 产生大量 1O_2 ,其产量显著高于游离 Cy7。这种"微环境响应+光控激活"的双重调控策略不仅实现了治疗过程的时空精准控制,更通过氧气供给与光动力治疗的协同作用显著提升了抗肿瘤效果,为开发新型肿瘤靶向治疗系统提供了重要参考。

参考文献

- [1] LIN J, SONG T, LIU Z, et al. Effects of biodegradable biomedical porous MnO2 nanoparticles on blood components and functions[J]. Colloids and Surfaces B: Biointerfaces, 2022, 217: 112667.
- [2] CHEN G, YAN S, OUYANG C, et al. A new hydrogel to promote healing of bacteria infected wounds: Enzyme-like catalytic activity based on MnO2 nanocrytal[J]. Chemical Engineering Journal, 2023, 470: 143986.
- [3] ZHOU Z H, LIANG S Y, ZHAO T C, et al. Overcoming chemotherapy resistance using pH-sensitive hollow MnO2 nanoshells that target the hypoxic tumor microenvironment of metastasized oral squamous cell carcinoma[J]. Journal of Nanobiotechnology, 2021, 19(1): 157.
- [4] CHEN W, HU F, GAO Q, et al. Tumor acidification and GSH depletion by bimetallic composite nanoparticles for enhanced chemodynamic therapy of TNBC[J]. Journal of Nanobiotechnology, 2024, 22(1): 98.
- [5] LIANG K, SUN H, YANG Z, et al. Breaking the redox homeostasis: an albumin-based multifunctional nanoagent for GSH depletion-assisted chemo-/chemodynamic combination therapy[J]. Advanced Functional Materials, 2021, 31(22): 2100355.
- [6] ZHU W, DONG Z, FU T, et al. Modulation of hypoxia in solid tumor microenvironment with MnO2 nanoparticles to enhance photodynamic therapy[J]. Advanced Functional Materials, 2016, 26(30): 5490-5498.
- [7] FAN Y, SHI J, ZHANG R, et al. Tumor microenvironment-activated and near-infrared light-driven free radicals amplifier for tetra-modal cancer imaging and synergistic treatment[J]. Journal of Colloid and Interface Science, 2025, 689: 137208.
- [8] ZHU X, WANG M, WANG H, et al. Multifunctional hollow MnO2@porphyrin@bromelain nanoplatform for enhanced photodynamic therapy[J]. Small, 2022, 18(52): 2204951.
- ZHANG M, LIU X, LUO Q, et al. Tumor environment responsive degradable CuS@mSiO2@MnO2/DOX for MRI guided synergistic chemo-photothermal therapy and chemodynamic therapy[J]. Chemical Engineering Journal, 2020, 389: 124450.
- [10] JIN Z, WANG Y, HAN M, et al. Tumor microenvironment-responsive size-changeable and biodegradable HA-CuS/MnO2 nanosheets for MR imaging and synergistic chemodynamic therapy/phototherapy[J]. Colloids and Surfaces B: Biointerfaces, 2024, 238: 113921.
- [11] JIANG R, HANG L, LI W, et al. Tri-stimulus-responsive hollow mesoporous MnO2 nanocarriers for magnetic-resonance-imaging-guided synergistic starvation/photodynamic therapy of breast cancer[J]. ACS Applied Nano Materials, 2024, 7(1): 1450-1461.
- [12] YIN Z, JI Q, WU D, et al. H2O2-responsive gold nanoclusters @ mesoporous silica @ manganese dioxide nanozyme for "off/on" modulation and enhancement of magnetic resonance imaging and photodynamic therapy[J]. ACS Applied Materials & Interfaces, 2021, 13(13): 14928-14937.
- [13] LIAO Y, LIANG Y, HUANG Y, et al. Heptamethine cyanines in bioorthogonal chemistry[J]. Chinese Chemical Letters, 2024, 35(2): 109092.
- [14] TANG X, YANG X, WANG Y, et al. Lysosomal-targeted near-infrared phototherapy agent with type-I photodynamic activity for high-performance synergistic therapy under hypoxia[J]. Surfaces and Interfaces, 2025, 62: 106075.
- [15] HUANG F, LI Y, LIU J, et al. Intraperitoneal injection of cyanine-based nanomicelles for enhanced near-infrared fluorescence imaging and surgical navigation in abdominal tumors[J]. ACS Applied Bio Materials, 2021, 4(7): 5695-5706.
- [16] OUYANG F, ZHAO L, SHUAI Q. Photothermally driven degradable nanomissile for single-wavelength phototherapy and hypoxia-activated chemotherapy[J]. Inorganic Chemistry Communications, 2023, 157: 111310.
- [17] WANG Y, XU S, SHI L, et al. Cancer-cell-activated in situ synthesis of mitochondria-targeting AIE photosensitizer for precise photodynamic therapy[J]. Angewandte Chemie International Edition, 2021, 60(27): 14945-14953.
- [18] KONG H, TANG Y, HAO X, et al. Self-assembly of H2S-generating photosensitizer for gas-assisted synergistic photothermal therapy[J]. Small, 2025, 21(13): 2411242.
- [19] HOU Y, LI J, JIANG G, et al. Synergistic inter- and intramolecular aggregation of dimeric cyanine dyes affords highly efficient in vivo self-delivery and photothermal therapy[J]. Advanced Functional Materials, 2024, 34(32): 2316452.
- [20] ZHANG X, LIANG X, MA X, et al. Highly stable near-infrared dye conjugated cerasomes for fluorescence imaging-guided synergistic chemo-photothermal therapy of colorectal cancer[J]. Biomaterials Science, 2019, 7(7): 2873-2888.